

Как следует из формулы (3), вид поверхности температур квазистационарных режимов превращения Θ_{qs} , а вместе с ней и возможные критические явления определяются только параметром ε или в общем случае — числом экзо- и эндотермических реакций и их относительными энергиями активации и не зависят от схемы превращения. Маршруты же реакций и их кинетики определяют, какие из возможных критических явлений и в каком сочетании могут встречаться в данной области параметров.

Поступила в редакцию 11/1 1983

ЛИТЕРАТУРА

1. В. Г. Абрамов, Д. А. Ваганов, Н. Г. Самойленко. ФГВ, 1977, 13, 1, 48.
2. В. Г. Абрамов, Д. А. Ваганов, Н. Г. Самойленко. Докл. АН СССР, 1975, 246, 1, 116.
3. В. Г. Абрамов, Н. И. Ваганова. ФГВ, 1978, 14, 5, 35.
4. Д. А. Франк-Каменецкий. Диффузия и теплопроводность в химической кинетике. М.: Наука, 1967.

ИССЛЕДОВАНИЕ КРИТИЧЕСКИХ ЯВЛЕНИЙ В СИСТЕМАХ С ДВУМЯ КОНКУРИРУЮЩИМИ ЭКЗО- И ЭНДОТЕРМИЧЕСКИМИ РЕАКЦИЯМИ.

II. РЕАКТОР ИДЕАЛЬНОГО СМЕШЕНИЯ

*М. Б. Боровиков, У. И. Гольдшледер, И. А. Буровой
(Москва)*

Анализ неизотермического превращения в закрытой системе с двумя конкурирующими экзо- и эндотермическими реакциями привел к выделению областей параметров с качественно различными режимами превращения (режимы погасания, воспламенения и т. д. [1]). Однако более интересно и широко распространено протекание процессов в реакторах непрерывного действия с постоянным обменом веществом и теплом со средой. В данной работе анализируются изменения режимов, полученных в [1], а также появление новых в приближении интенсивного теплопереноса и массообмена внутри реактора (реактор идеального смешения).

Уравнения динамики реактора по аналогии с уравнениями теории теплового взрыва можно представить в виде [2] (обозначения те же, что и в [1])

$$\begin{aligned} \gamma \frac{d\Theta}{d\tau} &= \exp\left(\frac{\Theta}{1+\beta\Theta}\right) \varphi_1(\eta) - \frac{1}{\mu_0} \exp\left(\frac{\varepsilon\Theta}{1+\beta\Theta}\right) \varphi_2(\eta) - \frac{\Theta}{Se_0} = H(\Theta, \eta), \\ \frac{d\eta}{d\tau} &= \exp\left(\frac{\Theta}{1+\beta\Theta}\right) \varphi_1(\eta) + k \exp\left(\frac{\varepsilon\Theta}{1+\beta\Theta}\right) \varphi_2(\eta) - \frac{\eta}{Da} = G(\Theta, \eta). \end{aligned} \quad (1)$$

Здесь $Se_0 = VQ_1E_1k_1^0 \exp(-E_1/RT_*)/(ρcW + αS) RT_*^2$ соответствует критерию Семенова для закрытой системы; $Da = Vh_1^0 \exp(-E_1/RT_0)/W$ — критерий Дамкеллера, являющийся характерным временем пребывания вещества в реакторе. В качестве масштабной, как и в [2], выбрана температура реактора в отсутствие тепловыделений реакций

$$T_* = (\rho c W T_i + \alpha S T_0) / (\rho c W + \alpha S),$$

где T_i , T_0 — температуры вещества на входе в реактор и окружающей среды; $ρ$, c — плотность и средняя теплоемкость вещества; W — объемный расход вещества.

Как и в случае закрытой системы, отправным пунктом анализа будет квазистационарное приближение (асимптотика по малому параметру $γ$). Температура квазистационарного превращения Θ_{qs} в реакторе определяется по формуле (3) из [1]. При этом движение по плоскости $η$, $μ$ осуществляется вдоль кривой $η(μ)$. В силу параметрического задания $η(μ)$ положение ее, как и для закрытой системы, определяется только

исходными значениями S_{e_0} , μ_0 и кинетикой реакций и не зависит от прочих параметров системы. Поэтому при данных S_{e_0} , μ_0 возможные высокотемпературные и низкотемпературные квазистационарные стадии превращения будут теми же, что и для закрытой системы. Однако постоянный обмен реактора со средой приводит к тому, что квазистационарное превращение может идти как в сторону увеличения, так и в сторону уменьшения степени превращения исходного реагента. Направление движения вдоль $\chi(\mu)$ определяется знаком G (см. (1)). Для квазистационарных стадий имеем

$$\operatorname{sign} [G(\chi, \mu)] = \operatorname{sign} [R(\chi, \mu) - d(\eta)], \quad (2)$$

где

$$R(\chi, \mu) = \exp \Theta_{qs} + \exp \varepsilon \Theta_{qs}/q\mu,$$

$$d(\eta) = \eta/D_a \varphi_1(\eta), \quad q = Q_2/Q_1.$$

Здесь $d(\eta)$ — скорость подвода исходного реагента, зависящая от степени превращения в реакторе; $R(\chi, \mu)$ — суммарная скорость реакций, определяемая только положением на поверхности Θ_{qs} . Видно, что если на устойчивом листе Θ_{qs} выполняется равенство

$$d(\eta_s) = R(\chi_s, \mu_s), \quad (3)$$

то происходит стабилизация соответствующей квазистационарной стадии при η_s , χ_s , μ_s . В случае выполнения (3) только на неустойчивом листе Θ_{qs} при $\gamma \rightarrow 0$ реактор переходит в автоколебательный режим. Отсутствие стационарных решений (3) соответствует взрывным превращениям.

Рассмотрим отличие режимов превращения в реакторе идеального смещения по сравнению с закрытой системой в простейшем случае степенных кинетик

$$\varphi_1(\eta) = (1 - \eta)^m, \quad \varphi_2(\eta) = (1 - \eta)^n.$$

В областях параметров, отвечающих режиму воспламенения, переход к открытой системе приводит к возможной стабилизации ВКС или НКС, полученных в [1]. Режим погасания ($\varepsilon > 1$, $\varepsilon^2 > n/m$, область $\Gamma'_1 CD_1 \Gamma_1$ при $n/m > \varepsilon$ и $\Gamma'_1 CF$ при $\varepsilon > n/m$, рис. 1) претерпевает более сложное изменение. Рассмотрим его подробнее.

Характерен для режимов погасания переход из ВКР в НКР при глубинах превращения, слабо зависящих от γ . При переходе к открытой системе возможны как стабилизация одной из стадий ВКС или НКС, так и переход в автоколебательный режим. Анализ изменения $R(\chi, \mu)$ вдоль кривой $\chi(\mu)$ (см. рис. 2) показывает, что необходимым и достаточным условием возникновения автоколебаний в реакторе для некоторого интервала значений (S_{e_0}, μ_0) вдоль $\chi(\mu)$ является выполнение неравенств

$$d_h > R_h, \quad d_b < R_b. \quad (4)$$

Здесь h , b — значение соответствующих параметров в точках пересечения $\chi(\mu)$ с CF и CF' (рис. 1, 2). При невыполнении одного из неравенств (4) имеем установление высокотемпературного или низкотемпературного стационарного режима. Анализ (4) показывает, что для существования автоколебаний в реакторе при данных параметрах (начальные значения (S_{e_0}, μ_0)) необходимо, чтобы время пребывания вещества в реакторе (D_a) было больше некоторого критического значения D_a^+ . В случае степенных кинетик из системы (4) и формулы (4) из [1] получим уравнения для определения $D_a^+(S_{e_0}, \mu_0)$:

$$D_a^+ = \eta / \{\varphi_1(\eta) [R_b \varphi_1(\eta) - (1 - \eta) R_h]\},$$

$$\eta = [R_b \varphi_1(\eta) - R_h] / [R_b \varphi_1(\eta) - (1 - \eta) R_h], \quad (5)$$

$$\tilde{\chi}_b = \tilde{\chi}_h \varphi_1(\eta),$$

$$\tilde{\mu}_b = \tilde{\mu}_h \varphi_1(\eta) / \varphi_2(\eta).$$

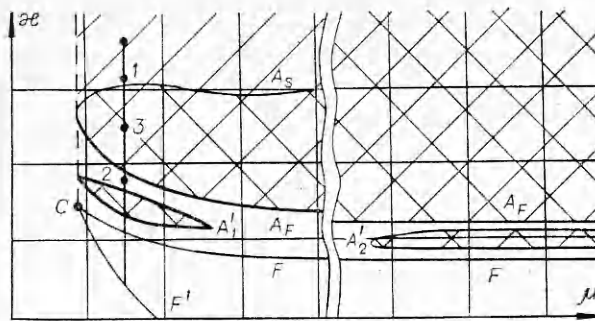


Рис. 1. Границы областей с качественно различными режимами превращения (результаты численного решения (6) для $(\varepsilon > n)/(m > 1)$). Одинарной штриховкой выделены области ВСР, двойной — области автоколебательных режимов, $\varepsilon = 2.0$, $m = 1$, $n = 1$, $q = 1$.

$$A_S, A_F - Da = 5,0 \cdot 10^{-2}; \\ A'_1, A'_2 - Da = 2,7 \cdot 10^{-2}.$$

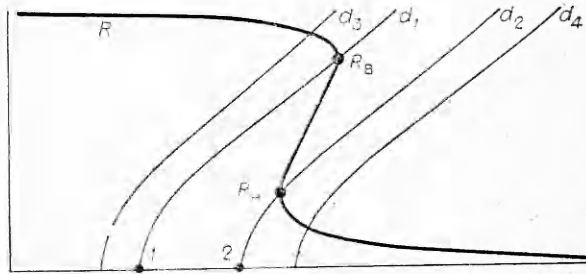


Рис. 2. Изменение суммарной скорости реакций $\bar{R}(\mu, \mu)$ и скорости подвода исходного реагента $d(\eta)$ вдоль траектории превращения системы $\tilde{\chi}(\mu)$ для $(\varepsilon > n)/(m > 1)$ (интервал 1—2 — область автоколебаний системы).

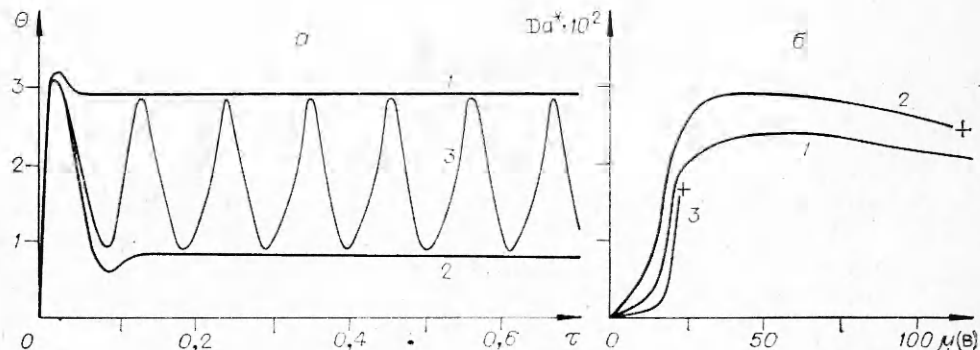


Рис. 3. Результаты численного счета кинетических кривых (а) и критического значения Da^+ (б) (кинетические кривые рассчитаны при значениях параметров, соответствующих точкам 1—3 на рис. 1).

$$\text{а)} m=1, n=1, \varepsilon=2, \mu=30, q=1, Da=5,0 \cdot 10^{-2}; \mu: 1-0,65, 2-0,47, 3-0,55. \text{ б)} 1-\varepsilon=1,8, m=1, n=2, 2-\varepsilon=1,8, m=1, n=1, 3-\varepsilon=2,0, m=1, n=3.$$

Здесь $\tilde{\chi}$, μ — положение границ CF , CF' . Можно показать, что уравнения (5) всегда имеют решение в области существования режимов погашения для закрытой системы. Сравнение значений Da^+ , полученных численным решением (5), с Da' исходной системы (1) показывает, что величина Da^+ имеет смысл нижней оценки Da' , причем при $\gamma \rightarrow 0$ $Da^+ \rightarrow Da'$.

Результаты численного решения (5) представлены на рис. 3, б. Видно, что для $\varepsilon > n/m$ Da^+ имеет максимум, и $Da^+ \rightarrow 0$ при $\mu \rightarrow \mu_c$ либо $\mu \rightarrow \infty$. Стремление Da^+ к нулю при $\mu \rightarrow \infty$ соответствует переходу к реактору с одной экзотермической реакцией. Так как при $\beta = 0$ не существует высокотемпературного стационарного решения, то для любого времени нахождения вещества в реакторе Da существует значение Se , при котором реализуются тривиальные релаксационные колебания. Если точка «в» стремится к C (см. рис. 1) и исчезают различия между НКР и ВКР, то $Da^+ \rightarrow 0$.

Для $\varepsilon^2 > n/m > \varepsilon$ режим погасания закрытой системы реализуется в ограниченной области (см. [1], рис. 2). Поэтому Da^+ имеет точку окончания (кривые 2, 3 на рис. 3, б), соответствующую пересечению $\{Se_0, \mu_0\}$ границы режимов. В зависимости от соотношений ε и n/m Da^+ может либо иметь максимум (кривая 2 на рис. 3, б), либо монотонно возрастать (кривая 3 на рис. 3, б).

Разбиение плоскости параметров Se_0, μ_0 зависит от соотношения Da и Da^+ . Для $\chi(\mu)$, где $Da > Da^+$, существует интервал значений параметров (см. рис. 2, 1, 2), при которых реализуется автоколебательный режим превращения (кривая 3 на рис. 3, а). Из (3) для границ A_s, A_F области автоколебательных режимов получим (см. рис. 1)

$$\begin{aligned} \eta_s/Da \varphi_1(\eta_s) &= R_b, & \eta_F/Da \varphi_1(\eta_F) &= R_h, \\ \chi_s &= \tilde{\chi}_b/\varphi_1(\eta_s), & \chi_F &= \tilde{\chi}_h/\varphi_1(\eta_F), \\ \mu_s &= \tilde{\mu}_b \varphi_2(\eta_s)/\varphi_1(\eta_s), & \mu_F &= \tilde{\mu}_h \varphi_2(\eta_F)/\varphi_1(\eta_F). \end{aligned} \quad (6)$$

Здесь кривые $\{\chi_s, \mu_s\}, \chi_F$ соответствуют верхней и нижней границам A_s, A_F . Выше границы A_s (см. рис. 1) система переходит в ВСР (кривая 1 на рис. 3, а), ниже A_F — в НСР (кривая 2 на рис. 3, а). В зависимости от соотношений Da и $(Da^+)_\text{max}$ область автоколебательных режимов может состоять либо из одной зоны при $Da > (Da^+)_\text{max}$ (A_s, A_F на рис. 1), либо из двух зон при $Da < (Da^+)_\text{max}$ — (A'_1, A'_2 на рис. 1). Рис. 1 и 3 иллюстрируют численное совпадение границ, определяемых из (6) и непосредственным интегрированием системы (1).

Поступила в редакцию 11/1 1983

ЛИТЕРАТУРА

1. М. Б. Боровиков, У. И. Гольдшлегер, И. А. Буровой. ФГВ, 1984, 20, 1.
2. В. Г. Абрамов, А. Г. Мержанов. ТОХТ, 1975, 9, 6, 867.

ГАЗОДИНАМИКА ГОРЕНИЯ ГАЗОВОЗДУШНОЙ СМЕСИ В ПОЛУЗАМКНУТОМ ОБЪЕМЕ ПРИ СБРОСЕ ДАВЛЕНИЯ В НЕЗАГАЗОВАННЫЙ СМЕЖНЫЙ ОБЪЕМ

*H. A. Стрельчук, A. B. Мишуев, A. Г. Никитин,
H. B. Орахелашивили
(Москва)*

Известно, что при разделении замкнутого или полузамкнутого объема на два отсека перегородкой с отверстием или при соединении двух камер с помощью перепускного канала и поджигании газовоздушной смеси в камере I (при загазованности обеих камер) давление в незагазованной камере II (рис. 1) становится заметно выше, чем в первой [1—4]. Это относится как к замкнутым объемам с одним соединяющим их отверстием, так и к объемам, имеющим еще отверстия, соединяющие их с атмосферой [4].

На практике встречаются случаи, когда второй отсек не загазован. При этом его рекомендуется использовать для разгрузки, т. е. для уменьшения давления в камере I, в том случае, когда отверстия, соединяющие первый отсек с атмосферой, малы для обеспечения безопасной величины давления при взрывном горении в нем смеси. Однако эксперимент показал, что давление в двух отсеках оказывается на порядок выше, чем ожидалось.

Для объяснения этого нетривиального эффекта проведены экспериментальные исследования. Их целью являлось выяснение физической